

## СТАЦИОНАРНОЕ РАСПРЕДЕЛЕНИЕ ПОЛЯ И ПРОСТРАНСТВЕННОГО ЗАРЯДА В ОБЪЕМЕ $i$ -СЛОЯ $p-i-n$ -СТРУКТУРЫ НА ОСНОВЕ GaAs

А. В. Ильинский, А. Б. Куценко, М. Б. Мельников

Физико-технический институт им. А. Ф. Иоффе Российской академии наук, 194021, Санкт-Петербург, Россия  
 (Получена 25 марта 1993 г. Принята к печати 15 июля 1993 г.)

С помощью оптического метода наблюдения электрического поля, использующего эффект Франца—Келдыша, исследовалось стационарное распределение поля в  $p-i-n$ -структуре на основе слабо легированного GaAs в диапазоне приложенного напряжения  $U$  обратной полярности от 10 до 140 В. В зависимости от величины  $U$  наблюдались качественно различные картины распределения поля в объеме структуры. При  $U > 60$  В в результате полного выноса полем свободных носителей из объема  $i$ -слоя поле имеет абсолютный максимум в середине  $i$ -слоя и его распределение определяется суммарным зарядом, связанным на сильно истощенных во всем объеме  $i$ -слоя донорных и акцепторных уровнях, которые имеют здесь неоднородное координатное распределение концентрации. При  $U < 60$  В полного выноса свободных носителей уже не происходит, возникает неоднородное пространственное заполнение примесных уровней, знак объемного заряда вблизи границ  $i$ -слоя меняется на противоположный, поле в этом случае имеет максимумы у границ и минимум в середине  $i$ -слоя. Представлен теоретический анализ наблюдаемых картин распределения поля, его результаты согласуются с данными эксперимента.

### Введение

Интерес к изучению эволюции распределения электрического поля и динамики объемного заряда в  $p-i-n$ -структуратах на основе слабо легированного арсенида галлия обусловлен их широким применением в качестве элементов различных устройств (тиристоры, высоковольтные выпрямители, диоды Ганна, лавинно-пролетные диоды). Работа этих устройств в основном определяется как динамикой поля в объеме полупроводниковой структуры после приложения напряжения, так и пространственным распределением поля в стационарном состоянии. Так, например, от вида распределения поля зависит величина максимально допустимого обратного напряжения выпрямительного диода, порог и частота генерации лавинно-пролетного диода и диода Ганна [<sup>1</sup>]. Считается [<sup>1</sup>], что при обратном смещении после завершения переходных процессов поле в высокоомном  $i$ -слое распределено монотонно, т. е. имеет место его рост или спад в зависимости от знака суммарного заряда истощенных в объеме  $i$ -слоя примесных уровней. Методические трудности получения информации (главным образом использовались методы токовой и емкостной спектроскопии, емкостного зондирования) не позволяют в ряде случаев точно описать картину распределения поля в объеме образца (в основном это относится к высокоомным полупроводникам с низкой концентрацией примесных уровней). Однако недавно [<sup>2, 3</sup>] стала использоваться более информативная оптическая методика, позволяющая регистрировать пространственное распределение поля и его динамику в кристалле по электрооптическому эффекту. Так, в [<sup>3</sup>] исследовалась динамика распределения поля в обратно смещенной  $p-i-n$ -структуре на основе GaAs методом, использующим эффект Франца—Келдыша. Были опре-

делены положения слоев структуры, дан анализ характера экранирования поля в разных слоях структуры при высоких приложенных напряжениях. Сделан вывод, что экранирование поля в объеме структуры происходит в два этапа. На первом этапе после включения напряжения устанавливается квазистационарное распределение электрического поля в  $i$  и  $n$ -слоях за время  $t < 1$  мкс. В объеме  $i$ -слоя поле распределено приблизительно однородно, а в  $n$ -слое имеет место линейный спад по координате, который соответствует быстрому формированию области сильного истощения мелких донорных уровней. На втором этапе происходит экранирование в  $p^0$ -слое с вытеснением поля в  $i$ - и  $n^0$ -слои за время  $t \sim 1$  с, которое определяется темпом ионизации глубокого акцепторного уровня. Процесс приходит к стационарному состоянию при полном опустошении акцепторов у границы с  $i$ -слоем.

Настоящая работа посвящена дальнейшему изучению распределения поля в объеме вышеуказанных структур после завершения переходных процессов в широком диапазоне обратных напряжений. Обнаружены качественно различные картины распределения поля при высоких и низких напряжениях, приложенных к образцу. Представлен анализ особенностей стационарного распределения поля в  $i$ -слое структуры с учетом генерации свободных носителей в области пространственного заряда и градиентов концентрации донорной и акцепторной примеси.

## I. Методика, экспериментальные результаты и их интерпретация

Объектом исследования является  $p-i-n$ -структур, выращенная методом жидкофазной эпитаксии [4]. На сильно легированной  $p^+$ -подложке сначала осуществляется рост слоя  $p$ -типа проводимости с концентрацией акцепторов  $\sim 10^{14}$  см $^{-3}$ . По мере охлаждения системы в процессе роста концентрация акцепторной примеси понижается, а донорной — возрастает, и на некотором расстоянии от подложки образуется компенсированный  $i$ -слой. В дальнейшем осуществляется рост слоя  $n$ -типа проводимости с концентрацией доноров  $\sim 10^{13}$  см $^{-3}$ . Метод жидкофазной эпитаксии обеспечивает плавное изменение концентрации примеси по мере роста кристалла, так что в объеме структуры формируется достаточно протяженный  $i$ -слой, длина которого соизмерима с длиной всей структуры [2]. Под  $i$ -слоем будем понимать область кристалла, где градиент концентрации примеси отличен от нуля. В работе использовались образцы в форме параллелепипеда с размерами ребер  $a = 7$ ,  $b = 0.3$ ,  $h = 1.5$  мм (рис. 1).

Для проведения количественных измерений распределения поля в объеме структуры использовался метод, основанный на зондировании образца светом с энергией фотонов, меньшей, чем край фундаментального поглощения кристалла. Приложении поля край поглощения смещается в длинноволновую сторону, что приводит к увеличению поглощения зондирующего света, прошедшего через образец (эффект Франца—Келдыша). Таким образом, при зондировании образца в направлении, перпендикулярном приложенному полю (рис. 1), пространственное распределение интенсивности зондирующего света на выходе из структуры несет информацию о распределении поля в объеме. К образцу прикладывалось напряжение обратной полярности с помощью двух плоских электродов, параллельных слоям структуры. Источником зондирующего света являлся импульсный полупроводниковый лазер, рабочая температура которого подбиралась такой, чтобы обеспечить генерацию линии  $\lambda = 904$  нм в области спектра вблизи края фундаментального поглощения арсенида галлия (при комнатной температуре  $E_g = 1.43$  ЭВ [5]). Длительность (3 мкс) и период повторения (0.5 с) импульса зондирующего света выбирались таким образом, чтобы исключить в пределах погрешности измерений влияние фотовозбуждения

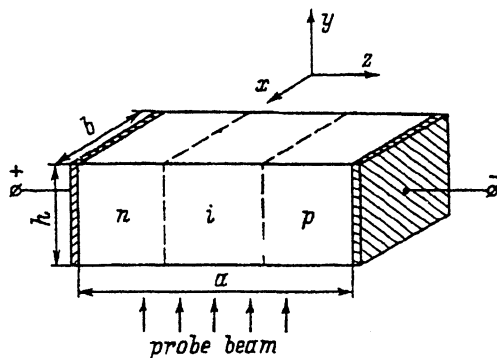


Рис. 1. Схема постановки эксперимента.

на картину распределения поля в объеме структуры при приложении обратного смещения.

Для пересчета получаемого на эксперименте координатного распределения интенсивности зондирующего света в абсолютные значения напряженности поля мы использовали градиуровочный график, построенный следующим образом. В первый момент времени после включения напряжения ( $t = 3$  мкс) в объеме структуры наблюдалась однородно затемненная область. Однородное распределение интенсивности зондирующего света означает однородное распределение поля в этой области. Зная ее размеры и величину приложенного напряжения, вычисляли напряженность поля, которой эта интенсивность света соответствует. Измерив зависимость интенсивности прошедшего сквозь структуру света от величины приложенного напряжения, мы установили соответствие между напряженностью поля и интенсивностью зондирующего света, которым и воспользовались для обработки экспериментальных данных. Все измерения проводились при комнатной температуре. Лабораторная установка, методика проведения измерений и обработка экспериментальных данных подробно описаны в [3].

На рис. 2 приведено распределение поля в объеме образца в стационарном состоянии (когда все переходные процессы после включения напряжения закончились и наблюдается установившаяся картина распределения интенсивности зондирующего света). При рассмотрении этого результата, как и в [3], будем считать, что границы  $i$ -слоя совпадают с максимумами в распределении поля при  $U < 60$  В. При малых значениях напряжения в  $i$ -слое наблюдаются области как отрицательного (у границы с  $n^0$ -слоем), так и положительного (у границы с  $p^0$ -слоем) объемного заряда — судить об этом можно по наклону кривых распределения поля. В середине  $i$ -слоя образец нейтрален и поле имеет минимум. С ростом напряжения, приложенного к структуре, области пространственного заряда расширяются, а затем перекрываются. При напряжении  $U = 60$  В объемный заряд в  $i$ -слое не накапливается, поле имеет однородное распределение. Дальнейший рост напряжения приводит к образованию областей отрицательного и положительного заряда уже у границ с  $n^0$ - и  $p^0$ -слоями соответственно. При этом распределение поля в  $i$ -слое имеет максимум. Через структуру течет постоянный сквозной ток  $I = 3$  мА. Заметим, что при дальнейшем увеличении  $U$  поле возрастает, но вид его распределения уже не меняется.

В нашем объяснении наблюдаемого стационарного распределения поля мы будем учитывать следующее. В объеме образца происходит генерация, дрейф в электрическом поле и обратный захват свободных носителей (электронов и дырок) на соответствующие примесные центры, причем дрейфовый ток сво-

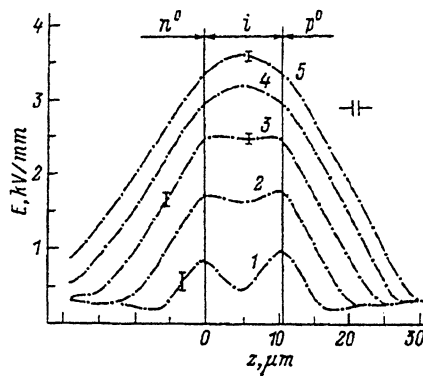


Рис. 2. Стационарное распределение электрического поля в  $p-i-n$ -структуре при приложении обратного смещения. У, В: 1—15, 2—40, 3—60, 4—90, 5—135.

бодных носителей существенно больше диффузионного. Заряд свободных носителей пренебрежимо мал по сравнению с зарядом, связанным на примесных центрах. Концентрации доноров  $N_d$  и акцепторов  $N_a$  распределены в объеме  $i$ -слоя неравномерно (рис. 3, а) (это предположение подтверждается условиями выращивания структуры [4]). Стационарный сквозной ток при приложении к структуре обратного смещения — это ток генерации электронно-дырочных пар в области пространственного заряда (в объеме  $i$ -слоя), что характерно для широкозонных полупроводниковых структур [1] (модель Шокли—Нойса—Саа). Последнее положение означает, что в  $n^0$ -слое ток чисто электронный, в  $p^0$ -слое — чисто дырочный, а в  $i$ -слое соответствующие составляющие тока возрастают в направлении дрейфа их носителей, как это показано на рис. 3, а. В дрейфовом приближении пространственные распределения тока и концентрации его носителей подобны друг другу (за исключением случая крайне больших градиентов поля, который мы здесь не рассматриваем), так что концентрация свободных электронов и дырок  $n_e(z)$  и  $n_h(z)$  также возрастают в сторону увеличения концентрации соответствующей примеси (рис. 3, а).

При приложении к образцу высоких напряжений ( $U > 60$  В) поле в  $i$ -слое велико и рожденные в нем носители успевают покинуть  $i$ -слой без захвата на примесные центры. Пространственное распределение свободных носителей в этом случае не существенно. Тогда в стационарном состоянии вся примесь в  $i$ -слое окажется полностью ионизованной, плотность объемного заряда  $\rho$  соответствует разности концентраций доноров и акцепторов  $\rho(z) = \rho_+(z) + \rho_-(z) = e [N_d(z) - N_a(z)]$  (штрих-пунктирная кривая на рис. 3, б). Поскольку в  $i$ -слое у границы с  $n^0$ -слоем преобладают доноры, то здесь находится область положительного заряда, а у границы с  $p^0$ -слоем, где преобладают акцепторы, — область отрицательного заряда. Поле, соответствующее такому распределению заряда (сплошная кривая на рис. 3, б), имеет максимум в точке  $z_{\max}$  в середине  $i$ -слоя. Заметим, что с ростом приложенного к структуре напряжения выше  $U_{cr} = 60$  В плотность объемного заряда [наклон  $E(z)$  на рис. 2] не меняется — это означает, что при  $U = U_{cr}$  уже обеспечивается практически полный вынос полем свободных носителей из  $i$ -слоя и примесь ионизуется полностью.

При низких напряжениях ( $U < 60$  В) из объема  $i$ -слоя полного выноса свободных носителей полем не происходит, картина пространственного распределения поля и заряда существенно усложняется (рис. 2, кривые 1—3), так как в этом случае необходимо учитывать обратный захват дрейфующих в поле свободных электронов на донорные и свободных дырок на акцепторные уровни. Захват этот будет тем существеннее, чем большее концентрация со-

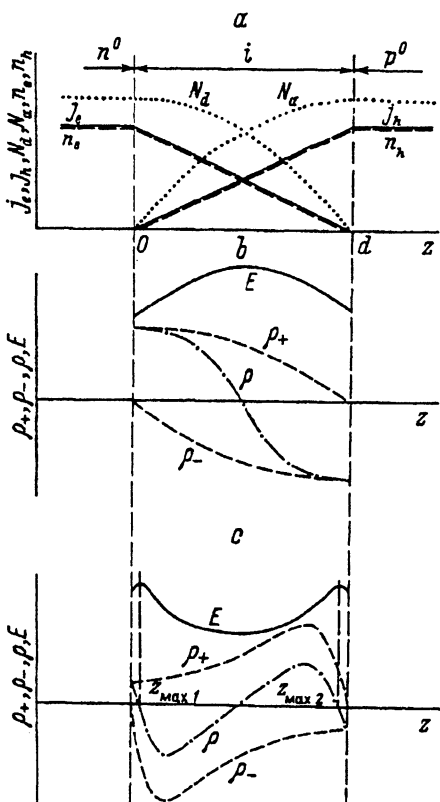


Рис. 3. Качественная картина.

*a* — пространственное распределение в объеме структуры концентрации донорных ( $N_d$ ) и акцепторных ( $N_a$ ) уровней, электронной ( $j_e$ ) и дырочной ( $j_h$ ) составляющих дрейфового тока концентрации свободных электронов ( $n_e$ ) и дырок ( $n_h$ ); *b* — распределение в объеме *i*-слоя структуры при приложении высоких напряжений ( $U > 60$  В): положительной ( $\rho_+$ ) и отрицательной ( $\rho_-$ ) составляющих объемного заряда, суммарного объемного заряда  $\rho$ , электрического поля  $E$ ; *c* — распределение в объеме *i*-слоя структуры при приложении низких напряжений ( $U < 60$  В): положительный ( $\rho_+$ ) и отрицательной ( $\rho_-$ ) составляющих объемного заряда, суммарного объемного заряда  $\rho$ , электрического поля ( $E$ ).

ответствующих носителей. Поскольку в стационарном состоянии генерация носителей с примесных центров уравновешивается их обратным захватом, можно из приведенных далее уравнений получить выражения для степеней заполнения доноров  $f_{d,a}$  и акцепторов  $f_{a,d}$

$$f_{d,a} = \frac{\gamma_{e,h} n_{e,h}}{\beta_{e,h} + \gamma_{e,h} n_{e,h}}.$$

Здесь  $n_{e,h}$  — концентрации свободных электронов и дырок,  $\beta_{e,h}$  и  $\gamma_{e,h}$  — коэффициенты генерации и захвата электронов и дырок соответственно на доноры и акцепторы. Пренебрегая зарядом свободных носителей по сравнению со связанным на примесных центрах, для величины заряда имеем

$$\rho_{+,-} = e N_{d,a}(z) [1 - f_{d,a}(z)].$$

Поскольку полный ток в образце  $j$  есть сумма дрейфовых токов электронов  $j_e$  и дырок  $j_h$ , последнее выражение записывается в виде

$$\rho_{+, -} = eN_{d, a}(z) = \frac{1 + (\mu_{h, e}/\mu_{e, h})(n_{h, e}/n_{e, h})}{1 + (E_{e, h}/E)(\mu_{h, e}/\mu_{e, h})(n_{h, e}/n_{e, h})},$$

где  $e$  — заряд электрона,  $\mu_{e, h}$  — подвижности электронов и дырок,  $N_{d, a}(z)$  — концентрации доноров и акцепторов в зависимости от координаты  $z$ ,  $E_{e, h}$  — параметры образца, выражения для которых будут приведены далее. Воспользовавшись последней формулой, заданным распределением  $N_a(z)$ ,  $N_d(z)$  и тем фактом, что концентрации свободных электронов  $n_e(z)$  и дырок  $n_h(z)$  возрастают в сторону увеличения концентрации соответствующей примеси (рис. 3, a), построим распределение  $\rho_+(z)$ ,  $\rho_-(z)$  при достаточно малых по сравнению с  $E_{e, h}$  полях (штриховые кривые на рис. 3, c). Штрих-пунктирной кривой на этом рисунке изображена суммарная плотность объемного заряда  $\rho = \rho_+ + \rho_-$ , а сплошной кривой — связанное с ним уравнением Пуассона распределение поля. Из рис. 3, c видно, что благодаря неоднородному пространственному распределению примесных центров и свободных носителей в малых полях в объеме  $i$ -слоя у границы  $n^0$  —  $i$  положительный заряд доминирующих здесь (но почти не ионизованных) доноров оказывается скомпенсированным отрицательным зарядом полностью ионизованных акцепторов, что и вызывает спад поля в этой области. Это приводит к образованию минимума поля в середине  $i$ -слоя, при этом надо учесть компенсацию отрицательного заряда акцепторов, доминирующих у границы  $i$  —  $p^0$ , положительным зарядом полностью ионизованных у этой границы доноров (здесь поле возрастает)

## II. Количественное описание распределения поля

Система уравнений, описывающая процессы переноса в  $i$ -слое, включает в себя:

— кинетические уравнения для концентрации свободных электронов и дырок

$$\frac{\partial n_e}{\partial t} = \beta_e N_d f_d - n_e \gamma_e (1 - f_d) N_d + \frac{1}{e} \operatorname{div} j_e - \kappa n_e n_h + g, \quad (1)$$

$$\frac{\partial n_h}{\partial t} = \beta_h N_a f_a - n_h \gamma_h (1 - f_a) N_a - \frac{1}{e} \operatorname{div} j_h - \kappa n_e n_h + g, \quad (2)$$

где  $\kappa$ ,  $g$  — коэффициенты межзонной рекомбинации и генерации свободных носителей;

— уравнения баланса для донорных и акцепторных уровней

$$N_d \frac{\partial f_d}{\partial t} = -\beta_e N_d f_d + n_e \gamma_e (1 - f_d) N_d, \quad (3)$$

$$N_a \frac{\partial f_a}{\partial t} = -\beta_h N_a f_a + n_h \gamma_h (1 - f_a) N_a; \quad (4)$$

— выражение для тока, в котором мы будем учитывать лишь дрейфовую составляющую

$$j = j_e + j_h = eE (\mu_e n_e + \mu_h n_h); \quad (5)$$

— выражение для заряда

$$\rho = e [N_d (1 - f_d) - n_e + n_h - N_a (1 - f_a)]; \quad (6)$$

— уравнение непрерывности

$$\operatorname{div} j = - \frac{\partial \rho}{\partial t}; \quad (7)$$

— уравнение Пуассона

$$\operatorname{div} E = \frac{\rho}{\epsilon \epsilon_0}. \quad (8)$$

Границное условие

$$\int_0^d E(z) dz = U - U_n - U_p$$

соответствует постоянной разности потенциалов на границах структуры: левая часть — падение напряжения на  $i$ -слое,  $U$  — приложенное к структуре напряжение,  $U_n$  и  $U_p$  — падения напряжения на  $n^0$ - и  $p^0$ -слоях,  $d$  — длина  $i$ -слоя.

Для простоты расчета аппроксимируем координатную зависимость концентрации примесей в объеме  $i$ -слоя параболой, обеспечивающей непрерывность самой концентрации  $N_d$ ,  $N_a$  и ее производной  $\partial N_d / \partial z$  на границах  $n^0-i$  и  $p^0-i$  соответственно

$$N_d(z) = \begin{cases} N_d^0 & \text{при } z < 0, \\ N_d^0 [1 - (z/d)^2] & \text{при } 0 \leq z \leq d, \\ 0 & \text{при } z > d, \end{cases}$$

$$N_a(z) = \begin{cases} 0 & \text{при } z < 0, \\ N_a^0 [1 - (1 - z/d)^2] & \text{при } 0 \leq z \leq d, \\ N_a^0 & \text{при } z > d, \end{cases} \quad (9)$$

где  $N_d^0$  и  $N_a^0$  — предельные концентрации доноров и акцепторов, достигаемые на границах  $i$ -слоя.

Поскольку мы рассматриваем обратно смещенную  $p-i-n$ -структуре, в которой даже в относительно больших полях токи невелики, то в (6) небольшой концентрацией свободных носителей можно пренебречь по сравнению с концентрацией связанных зарядов. Тогда в стационарном случае система уравнений (1)–(8) переходит в

$$\frac{\partial E}{\partial z} = \frac{e}{\epsilon \epsilon_0} \left[ N_d^0 \left[ 1 - \left( \frac{z}{d} \right)^2 \right] \frac{E}{E_e (1 - j_h/j) + E} - N_a^0 \frac{z}{d} \left( 2 - \frac{z}{d} \right) \frac{E}{E_b j_b / j + E} \right], \quad (10)$$

$$\frac{\partial j_h}{\partial z} = eg - \frac{\kappa}{\epsilon \mu_j \mu_h E^2} j_h (j - j_h), \quad (11)$$

$$\text{где } E_{e,h} = j \frac{\gamma_{e,h}}{e\mu_{e,h}\beta_{e,h}}.$$

В общем случае система уравнений (10), (11) сводится к нелинейному уравнению второго порядка, решение которого возможно лишь численными методами. Далее мы приведем результаты такого решения, а сейчас на простых частных случаях покажем, что, действительно, при небольших напряжениях на структуре распределение поля в центральной части  $i$ -слоя будет иметь минимум, а при больших  $U$  — максимум.

*a. Решение для центральной части  $i$ -слоя ( $|z-d/2| \ll d$ ).*

Будем считать, что

$$g \gg \frac{xj^2}{e^2 \mu \mu_h E^2}. \quad (12)$$

Тогда из (11) получим  $j_h = jz/d$ ,  $j = egd$ . Положив для простоты  $N_a^0 = N_d^0 = N$ ,  $E_e = E_h = E_j$ , сможем найти решение (10) для центральной части  $i$ -слоя. Обозначим

$$\zeta \equiv \frac{z}{d}; \quad N_c \equiv N \Big|_{\zeta=1/2} = \frac{3}{4} N_{d,a}^0; \quad \mathcal{E} \equiv \frac{E}{E_j}.$$

Тогда для центральной части  $i$ -слоя ( $|\zeta - 1/2| \ll 1/2$ ) зависимости (9) переходят в

$$N_d(z) = N_c [1 - a(\zeta - 1/2)], \quad N_a(z) = [1 + a(\zeta - 1/2)], \quad a = 4/3$$

и (10) упростится до

$$\frac{\partial \mathcal{E}}{\partial \zeta} = k \mathcal{E} (\zeta - 1/2) \frac{1 - a/2 - a\mathcal{E}}{(\mathcal{E} + 1/2)^2 - (\zeta - 1/2)^2}, \quad (13)$$

$$\text{где } k = \frac{e}{\epsilon \epsilon_0} \frac{N_c d}{E_j}.$$

Из (13) видно, что распределение поля имеет максимум в центральной части  $i$ -слоя при  $\mathcal{E}_c = \mathcal{E}(1/2) > \mathcal{E}_{c,cr}$  и минимум при  $\mathcal{E}_c < \mathcal{E}_{c,cr}$ , где  $\mathcal{E}_{c,cr} = 1/4$  (рис. 4, a). Решение (13) будет наглядным при соответствующем неравенстве для  $\mathcal{E}_c$  сильном, т. е.

$$\mathcal{E}(\zeta) \Big|_{|\zeta - 1/2| \ll 1/2} = \mathcal{E}_c [1 - 8/3k(\zeta_c - 1/2)^2] \text{ при } \mathcal{E}_c \gg \mathcal{E}_{c,cr}, \quad (14)$$

$$\mathcal{E}(\zeta) \Big|_{|\zeta - 1/2| \ll 1/2} = \mathcal{E}_c [1 + 1/3k(\zeta_c - 1/2)^2] \text{ при } \mathcal{E}_c \ll \mathcal{E}_{c,cr}. \quad (15)$$

Полученные результаты позволяют оценить некоторые параметры системы. Так, поскольку переход от распределения с максимумом к распределению с минимумом поля в центре  $i$ -слоя происходит при напряжении на структуре  $U_{cr} \sim 60$  В, то  $E_{cr} \sim (1/2) \cdot 60 \text{ В/10 мкм} = 3 \cdot 10^6 \text{ В/м} \sim (1/4)E_j$ , соответственно  $E_j \sim 10^7 \text{ В/м}$ . Следовательно, при  $\epsilon \sim 10$  и  $N \sim 10^{20} \text{ м}^{-3}$  получим  $k \sim 2 \cdot 10^5 / E_j \sim 0.2$ . Обратившись к (14), (15), легко видеть, что не слишком малые (по сравнению с единицей) величины  $k$  позволяют объяснить тот факт,

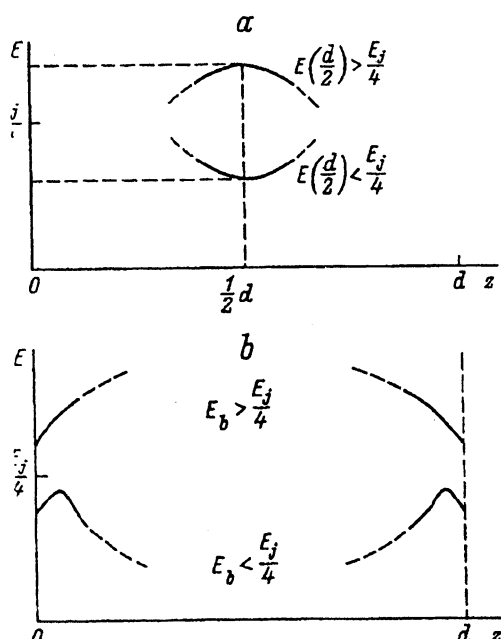


Рис. 4. Стационарное распределение электрического поля в  $i$ -слое:  $a$  — в центральной части,  $b$  — в приграничных областях.

что разность значений поля на границе и в центре  $i$ -слоя может приближаться к самой величине поля.

*б. Решение для приграничных областей  $i$ -слоя ( $z \ll d/2, |z-d| \ll d/2$ ).*

Рассмотрим поведение поля вблизи границы  $n^0 - i$ , т. е. при  $\xi \ll 1/2$ . Здесь (10) упростится до

$$\frac{\partial \mathcal{E}}{\partial \xi} = k\mathcal{E} \frac{\mathcal{E} - \xi(1 + 2\mathcal{E})}{(1 + \mathcal{E})(\xi + \mathcal{E})}. \quad (16)$$

Обозначим граничные значения поля  $\mathcal{E}_b = \mathcal{E}(0)$ . Предположим, что распределение  $\mathcal{E}(\xi)$  может иметь максимум  $\mathcal{E}_m$  при  $\xi = \xi_m$ . Воспользуемся разложением

$$\mathcal{E}_m = \mathcal{E}_b + \left. \frac{\partial \mathcal{E}}{\partial \xi} \right|_{\xi=0} \xi_m,$$

где  $\xi_m$  такое, что

$$\left. \frac{\partial \mathcal{E}}{\partial \xi} \right|_{\xi=\xi_m} = 0, \quad \text{т. е. (см. 16)} \quad \xi_m = \frac{E_m}{1 + 2\mathcal{E}_m}.$$

Из (16) следует  $\frac{\partial \mathcal{E}}{\partial \xi} = \frac{k\mathcal{E}_b}{1 + \mathcal{E}_b}$ .

Тогда максимум вблизи границы (при  $\xi \sim \xi_m \ll 1/2$ ) возможен лишь в том случае, когда поле на границе  $\mathcal{E}_b$  меньше некоторой критической величины  $\mathcal{E}_{b, cr} \approx \xi_m$ . Такая связь  $\mathcal{E}_{b, cr}$  и  $\xi_m$  имеет место, если не только

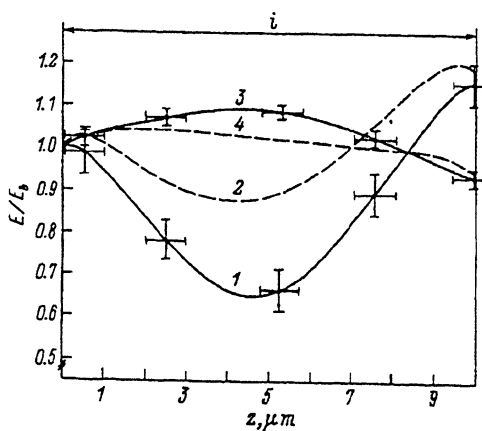


Рис. 5. Результат численного расчета (2, 4) распределения поля в объеме  $i$ -слоя и экспериментальные данные (1, 3).  $E_b$ , кВ/мм: 1 — 0.7, 3 — 3.

$\zeta_m \ll 1$ , но и  $k\zeta_m \ll 1$ ; при полученной нами оценке для  $k \approx 0.2$  (см. выше) второе условие автоматически следует из первого. Таким образом, если  $\mathcal{E}_b \ll \ll 1$ , то расстояние от границы до максимума  $\zeta_m$  пропорционально величине граничного поля.

В силу симметрии задачи поведение поля у границы  $i-p^0$  ( $\zeta = 1$ ) аналогично рассмотренному выше, что и отражено на рис. 4, б.

Совместное рассмотрение решений в центре и на краях  $i$ -слоя подтверждает, что при малых напряжениях на структуре поле имеет в  $i$ -слое минимум, а при больших напряжениях — максимум. Более точное аналитическое рассмотрение распределения поля в  $i$ -слое затруднительно, однако возможно численное решение системы (10), (11), которое приведено на рис. 5 для двух значений  $E_b$ . Здесь также приведены результаты эксперимента, соответствующие этим значениям  $E_b$  на границе  $n^0-i$  и нормированные на  $E_b$ . Из рисунка видно, что результаты расчета удается качественно согласовать с экспериментальными данными.

Существенно, что рассмотренное нами распределение поля с минимумом в середине  $i$ -слоя может быть получено лишь в том случае, когда ток, протекающий через структуру, — это ток генерации электронно-дырочных пар в области  $i$ -слоя, его дырочная составляющая доминирует в области у границы  $i-p^0$ , а электронная — в области у границы  $n^0-i$ . Из уравнения (11) следует, что это возможно, когда выполнено условие  $g > \kappa j^2 / (4e^2 \mu_e \mu_h E^2)$ .

### Заключение

Методом, основанным на эффекте Франца—Келдыша, изучено стационарное распределение пространственного заряда и электрического поля в  $p-i-n$ -структуре на основе GaAs в широком диапазоне приложенного напряжения обратной полярности. На основании модели, включающей в себя генерацию, дрейф в электрическом поле и обратный захват на примесные уровни свободных носителей и с учетом того, что стационарный обратный ток — ток генерации электронно-дырочных пар в области пространственного заряда, дано качественное и количественное описание наблюдаемых экспериментально картин распределения поля в  $i$ -слое при высоких и низких напряжениях, приложенных к структуре.

## СПИСОК ЛИТЕРАТУРЫ

- [1] С. Зи. Физика полупроводниковых приборов. 456. М. (1984).
- [2] В. И. Корольков, В. Н. Красавин, С. И. Пономарев, Г. И. Цвилев. ФТП, 19, 328 (1985).
- [3] А. В. Ильинский, А. Б. Куценко, М. Н. Степанова. ФТП, 26, 710 (1992).
- [4] В. Г. Никитин, И. Рагинска, Е. Р. Сеель, М. Н. Степанова, Д. Н. Третьяков, Т. П. Федоренко. Тез. докл. III Всес. конф. 3, 102. Одесса (1982).
- [5] Арсенид галлия в микроэлектронике. Под ред. Н. Айспрука. У. Уиссмена. М. (1988).

Редактор Л. В. Шаронова

---